

УДК 532.532+532.59

## ЭКСПЕРИМЕНТАЛЬНАЯ ПРОВЕРКА МЕТОДОВ РАСЧЕТА ВОЛН ПОСЛЕ ЧАСТИЧНОГО РАЗРУШЕНИЯ ПЛОТИНЫ

В. И. Букреев, В. В. Дегтярев\*, А. В. Чеботников\*

Институт гидродинамики им. М. А. Лаврентьева СО РАН, 630090 Новосибирск

\* Новосибирский государственный архитектурно-строительный университет,  
630008 Новосибирск

E-mail: bukreev@hydro.nsc.ru

Приведены результаты экспериментального исследования волн после частичного разрушения двух модельных плотин. Дано обобщение предложенных ранее методов расчета и проведено их сравнение с полученными экспериментальными данными. Показано, что на скорость распространения волн в нижнем бьефе существенно влияют потери энергии при истечении через проран.

**Ключевые слова:** частичное разрушение плотины, волна прорыва, эксперимент, методы расчета.

**Введение.** Численные расчеты процесса распространения волн после разрушения плотины по реальному речному руслу с боковыми притоками, поймами и разнообразными гидравлическими сопротивлениями выполняются на основе уравнений Сен-Венана. Сведения о соответствующих компьютерных программах можно найти в Интернете ([http://www.niies.ru/chisl\\_metod.htm](http://www.niies.ru/chisl_metod.htm), <http://www.wmo.ch/web/homs/projects/Components/Russian/k15302.html>). Обзор научных исследований, предшествовавших созданию таких программ, содержится в [1–3]. В качестве исходной информации при расчетах необходимо задать натурные данные о геометрии и гидравлических сопротивлениях речной системы, а также начальные данные в створе плотины. Начальные данные целесообразно получить из решения задачи о разрушении плотины на основе более простой математической модели — первого приближения теории мелкой воды. Соответствующая теория для случая мгновенного полного разрушения плотины над ровным горизонтальным дном представлена в работах [4, 5], а результаты ее экспериментальной проверки — в работах [6, 7].

В настоящей работе рассматривается более сложная задача о частичном разрушении, когда в окрестности уцелевшей части плотины течение является трехмерным и вихревым. В этом случае система уравнений в рамках первого приближения теории мелкой воды оказывается незамкнутой. Впервые способ решения проблемы замыкания предложил С. А. Христианович [4]. Новизна его подхода состоит в том, что дополнительно привлекается эмпирическая информация. По сути, этот подход используется в дальнейшем при расчетах волн в реальной речной системе на основе уравнений Сен-Венана. В работе [4] предполагается также, что в окрестности частично разрушившейся плотины течение быстро становится стационарным, что подтверждается в опытах [8, 9].

---

Работа выполнена при финансовой поддержке Российского фонда фундаментальных исследований (код проекта 07-01-00015) и в рамках Интеграционного проекта отделений РАН № 4.14.1.

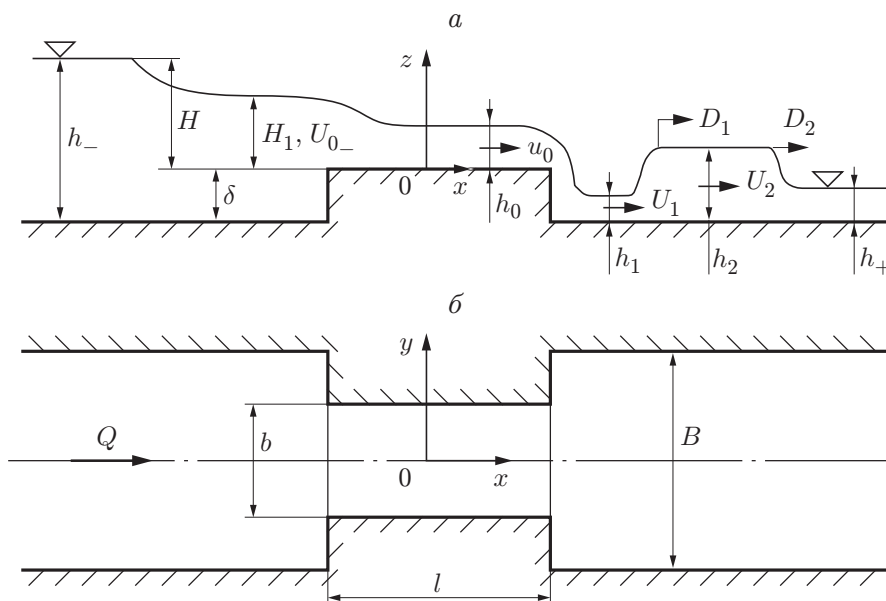


Рис. 1. Схема течения:

 $a$  — вид сбоку,  $b$  — вид сверху

Следующий важный шаг в решении проблемы замыкания сделан независимо в трех работах [10–12], в которых рассмотрен частный случай неровного дна в створе плотины — резкое понижение дна вниз по потоку по всей ширине канала (уступ). Принципиальная новизна работ [10–12] по сравнению с классическими работами, где при теоретическом анализе использовались только законы сохранения массы и количества движения, заключается в том, что в них используется также закон сохранения энергии. Экспериментальная проверка решений [11, 12] для случая разрушения плотины над уступом выполнена в [13, 14].

В настоящей работе приведены экспериментальные данные о волнах в нижнем бьефе, образующихся при частичном разрушении двух модельных плотин, дано обобщение теории [11, 12] и выполнено сравнение методов расчета с полученными экспериментальными данными.

**1. Постановка задачи.** Схема модельной задачи о частичном разрушении плотины и используемые далее обозначения приведены на рис. 1. В бесконечно длинном прямоугольном канале с горизонтальным дном расположена плотина с прямоугольным отверстием — прораном. В начальном состоянии проран перекрыт щитом, поэтому создается перепад уровней верхнего и нижнего бьефов  $h_- - h_+ > 0$ . В момент времени  $t = 0$  щит “мгновенно” удаляется (в данных опытах — за 0,04 с), в результате чего в верхний бьеф распространяется волна понижения уровня, в нижний бьеф — волна прорыва. Далее в основном рассматривается волна прорыва. Волну в верхнем бьефе необходимо исследовать более детально, поскольку согласно экспериментальным данным [8, 9] форма этой волны более сложная, чем в первом приближении теории мелкой воды.

При теоретическом анализе в рамках первого приближения теории мелкой воды вязкость жидкости не учитывается. В этом случае течение определяется только шестью геометрическими параметрами:  $h_-$ ,  $h_+$ ,  $B$ ,  $b$ ,  $\delta$ ,  $l$  (см. рис. 1) и ускорением свободного падения  $g$ . При переходе к безразмерным величинам число геометрических параметров уменьшается до пяти, а параметр  $g$  в моделях построения остается размерным. В задаче о полном разрушении плотины число безразмерных геометрических параметров уменьша-

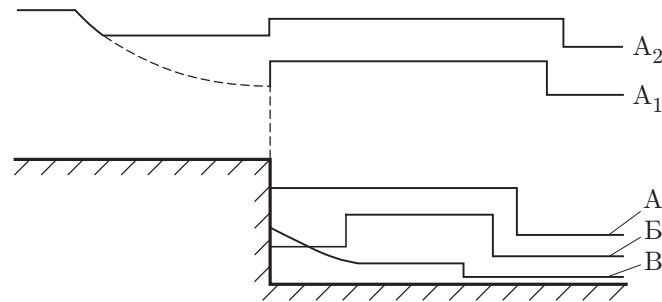


Рис. 2. Теоретически возможные профили волн в нижнем бьефе в случае разрушения плотины над уступом [14]

ется до одного [7]. В эксперименте определенное влияние на распространение волн оказывают вязкость жидкости, гидравлическая шероховатость твердых границ, форма кромок на входе в проран и характер движения щита. Это ограничивает, в частности, диапазон расстояний от плотины, в котором сравнение с теорией будет достаточно корректным. В опытах канал имеет ограниченную длину, поэтому сравнение с рассматриваемыми теориями становится неправомерным после того, как первая отраженная волна достигнет поперечного сечения канала с заданной координатой  $x$  или волна в верхнем бьефе распространится до стенки канала, так что граничные условия здесь становятся иными, чем в теории.

Опыты, выполненные в [8, 9] и в данной работе, показывают, что при частичном разрушении плотины могут существовать волны тех же типов (А, Б и В), что и в случае разрушения плотины над уступом. В дальнейшем это используется при обобщении теории [11, 12]. Формы волн, теоретически полученные в работах [12, 14], приведены на рис. 2. Оценки показывают, что при достаточно больших значениях параметра  $\delta/h_-$  волна типа В (см. рис. 2) существует при настолько малых значениях  $h_+$  (в лабораторных условиях — порядка долей миллиметра), что реализовать ее в опытах практически невозможно. Показанные на рис. 2 волны типа  $A_1$ ,  $A_2$  существуют в подтопленном режиме сопряжения бьефов. (Режим сопряжения бьефов называется неподтопленным, если течение в нижнем бьефе не влияет на течение в верхнем бьефе, и подтопленным — в обратном случае.)

В случае волны типа Б с двумя движущимися друг за другом гидравлическими прыжками представляет интерес определение глубин  $h_1$  (непосредственно за плотиной) и  $h_2$  (за передним прыжком), скоростей движения жидкости  $U_1$ ,  $U_2$  в соответствующих поперечных сечениях, а также характерных скоростей распространения волн  $D_1$ ,  $D_2$  (см. рис. 1). Согласно теории эти шесть величин не меняются во времени. Из условий сохранения массы и количества движения в системах отсчета, движущихся с постоянными скоростями  $D_1$ ,  $D_2$ , для них можно получить четыре строгих соотношения. Еще два соотношения можно получить в неподвижной системе координат, однако только при определенных допущениях о связи течений в верхнем и нижнем бьефах. Это обусловлено тем, что в условии сохранения количества движения между поперечными сечениями непосредственно перед плотиной и за ней необходимо учитывать неизвестные силы давления на верхней и нижней гранях уцелевшей части плотины.

В теоретической работе [11] для связи течений в верхнем и нижнем бьефах используется уравнение Бернулли вдоль линии тока в неподвижной системе координат, причем предусматривается возможность учета потерь энергии. При этом в [11] рассматривается только неподтопленный режим сопряжения бьефов и предполагается, что непосредственно на уступе устанавливаются критические глубины и скорость, а форма волны в верхнем бьефе такая же, как в случае полного разрушения плотины над ровным дном. Это не вы-

зывает возражений, если рассматривается случай неровного дна в виде уступа по всей ширине канала ( $b/B = 1$ ) и режим сопряжения бьефов неподтопленный. В случае частичного разрушения плотины предположение о том, что в проране устанавливается критическая глубина, можно использовать только при определенных ограничениях на форму и размеры прорана. В частности, оно неприменимо, если  $l/h_- < 2$  [15]. В теоретической работе [12] рассматривается также подтопленный режим сопряжения бьефов. При этом предполагается, что непосредственно над уступом располагается неподвижный скачок уровня свободной поверхности. В эксперименте такой скачок отсутствует. В неподтопленном режиме теории [11, 12] дают одинаковые результаты, за исключением некоторых несущественных для дальнейшего исследования деталей [12, 14].

В случае волны типа А имеют место соотношения  $h_1 = h_2$ ,  $D_1 = 0$ . Величины  $h_2$ ,  $U_2$  и  $D_2$  остаются неизвестными. Из условий сохранения расхода и количества движения в системе координат, движущейся со скоростью  $D_2$ , для этих величин можно получить два строгих соотношения. Третье соотношение в [11] получается аналогично тому, как это сделано для волны типа Б, однако закон сохранения энергии уже не используется. Это исключает возможность учета потерь энергии.

В задаче о частичном разрушении плотины потери энергии могут быть настолько значительными, что течение в нижнем бьефе оказывается докритическим, так что гидравлические прыжки не образуются. Такая картина течения наблюдается, например, в случае относительно узкого прорана при размыве земляной плотины или при падении воды с большой высоты. В теории мелкой воды содержится предположение о потенциальном (безвихревом) характере движения. Вместе с тем перед прораном, в проране, за прораном и при растекании струи в нижнем бьефе образуются мощные вихри, поглощающие значительную часть энергии поступательного движения. В работе [4] по эмпирическим формулам дополнительно задается расход и предполагается, что в верхнем бьефе форма свободной поверхности такая же, как в случае полного разрушения плотины над ровным дном при подтопленном режиме сопряжения бьефов. Потери энергии в этой теории не учитываются.

**2. Проверяемые методы расчета.** В методе расчета, который далее будем называть методом 1, используется следующая система уравнений из работы [4]:

$$(U_2 - D_2)h_2 = -D_2h_+; \quad (1)$$

$$gh_2^2/2 + (U_2 - D_2)^2h_2 = gh_+^2/2 + D_2^2h_+; \quad (2)$$

$$q = m(b/B)H_1\sqrt{2gH_1}; \quad (3)$$

$$q = 2(\sqrt{gh_-} - \sqrt{g(H_1 + \delta)})(H_1 + \delta) = U_2h_2 \quad (4)$$

( $q$  — удельный расход на единицу ширины канала;  $m$  — эмпирический коэффициент расхода). Эта замкнутая система не содержит величин  $h_1$ ,  $U_1$ ,  $D_1$ , поэтому, строго говоря, она применима только для расчета параметров волн типа А.

Метод, далее называемый методом 2, базируется на объединении основных идей из работ [4, 11, 12]. В этом методе используются соотношения (1)–(4), а также соотношения

$$q_0 = qB/b, \quad h_0 = kH_1, \quad u_0 = q_0/h_0; \quad (5)$$

$$e_0 = \delta + h_0 + u_0^2/(2g); \quad (6)$$

$$U_1 = \sqrt{2g(e_0/(1 + \zeta) - h_1)}; \quad (7)$$

$$(U_1 - D_1)h_1 = (U_2 - D_1)h_2; \quad (8)$$

$$gh_1^2/2 + (U_1 - D_1)^2 h_1 = gh_2^2/2 + (U_2 - D_1)^2 h_2; \quad (9)$$

$$\zeta = 0, \quad (10)$$

где  $q_0$ ,  $h_0$ ,  $u_0$ ,  $e_0$  — удельный расход, глубина, скорость жидкости и удельная энергия (над дном канала) на выходе из прорана соответственно;  $k$ ,  $\zeta$  — эмпирические коэффициенты. Коэффициент  $k$  учитывает, что в общем случае глубина  $h_0 \neq H_1$  (см. рис. 1). Наличие в модели “свободного параметра”  $k$  позволяет использовать метод 2 в случае подтопленного режима сопряжения бьефов и прорана произвольной формы. Коэффициент  $\zeta$  вводится для учета потерь энергии. В данном методе он полагается равным нулю (уравнение (10)).

В случае неровного дна в виде уступа и неподтопленного режима сопряжения бьефов течение в верхнем бьефе такое, что отсутствует необходимость вводить эмпирические коэффициенты  $m$  и  $k$  [11]. Это обусловлено тем, что несколько выше по потоку от уступа устанавливается критическая глубина [13]. Постулат о том, что в проране устанавливается критическая глубина, применим также в частном случае прорана в виде так называемого водослива с широким порогом, причем только при неподтопленном режиме сопряжения бьефов [9, 15]. При этом с учетом стандартного определения критической глубины  $h_*$  [15] имеет место соотношение

$$h_0 = h_* = \sqrt[3]{q^2/g},$$

и вводить дополнительно эмпирический коэффициент  $k$  не требуется.

Для волн типа А имеют место соотношения

$$h_1 = h_2, \quad U_1 = U_2, \quad D_1 = 0, \quad (11)$$

которые используются в методе 2, для того чтобы исключить из системы уравнений соотношения (5)–(10). При анализе волн типа А методы 1 и 2 совпадают, поэтому в данном случае метод 2, как и метод 1, не позволяет учитывать потери энергии.

Метод, далее называемый методом 3, отличается от метода 2 тем, что условие (10) заменяется условием  $\zeta > 0$ , причем только при анализе волн типа Б и В, а также при определении границы области их существования в пространстве заданных параметров. Следует отметить, что с увеличением  $\zeta$  при прочих равных условиях эта область сужается. При анализе волн типа А также используются только соотношения (1)–(4), и потери энергии не учитываются.

Потери энергии и в случае волн типа Б, и в случае волн типа А учитываются в методе 4. При этом анализ волн типа Б и В, а также границы области их существования проводится с использованием метода 3. Однако при анализе волн типа А равенства (11) используются иначе. Уравнения (2), (8), (9) исключаются, сохраняется условие  $\zeta > 0$ , а уравнения (6), (7) заменяются следующими соотношениями:

$$e_0 = \delta + H_1 + q^2/(2g(\delta + H_1)^2), \quad U_2 = \sqrt{2g(e_0/(1 + \zeta) - h_2)}.$$

**3. Методика эксперимента.** Опыты проводились в прямоугольном канале длиной 8,3 м, шириной  $B = 0,2$  м и высотой 0,25 см с ровным горизонтальным дном. Выполнено две серии опытов. В первой серии плотина с прораном моделировалась прямоугольным водосливом с тонкой стенкой и боковым поджатием, во второй серии — водосливом с широким порогом. Параметры  $b = 0,06$  м и  $\delta = 0,072$  м в двух сериях были одинаковыми. Длина широкого порога  $l = 0,38$  м. Начальный напор над гребнем водослива  $H$  и начальная глубина нижнего бьефа  $h_+$  варьировались.

Изменение уровня свободной поверхности во времени в нескольких точках по координате  $x$  измерялось волномерами. Перед каждой серией опытов непосредственно на экспериментальной установке осуществлялась калибровка волномеров путем погружения их в воду на заданную глубину. Сравнение с расчетами проводилось по параметрам  $h_2$ ,  $D_2$ .

Значение  $D_2$  вычислялось по времени распространения  $\Delta t$  средней по высоте точки переднего фронта волны между двумя волномерами, смещенными на заданное расстояние  $\Delta x$ . Используемые далее экспериментальные данные получены при таких значениях продольной координаты  $x$ , при которых порожденное волнами течение было одномерным, и на таких интервалах времени, на которых значения  $h_2$ ,  $D_2$  не изменялись. Ранее данная методика измерений применялась при изучении волн после полного разрушения плотины над ровным дном [7] и над уступом [13]. Надежность измерений подтверждается тем, что в двух этих частных случаях экспериментальные данные хорошо согласуются с соответствующими данными теорий [4] и [11, 12], не содержащих эмпирических коэффициентов.

Значения коэффициента  $m$ , определявшиеся в предварительных опытах с заданным стационарным расходом, хорошо согласуются со справочными данными. В частности, в случае плотины в виде водослива с тонкой стенкой можно использовать эмпирическую формулу Базена [15], в которой начальный напор над гребнем водослива  $H$  следует заменить на  $H_1$ :

$$m = \left[ 0,405 + \frac{0,0027}{H_1} - 0,03 \left( 1 - \frac{b}{B} \right) \right] \left[ 1 + 0,55 \left( \frac{b}{B} \right)^2 \frac{H_1}{H_1 + \delta} \right] \sigma. \quad (12)$$

Здесь  $\sigma$  — коэффициент подтопления, значения которого определяются по таблице [15]. Следует отметить, что выражение  $0,0027/H_1$  автор формулы (12) представил в размерной форме. Такая запись сохраняется и в современных справочниках по гидравлике [15], поэтому формула (12) пригодна только для воды при нормальных условиях и линейные размеры в ней следует задавать в метрах.

В случае водослива с широким порогом значения  $m$  также содержатся в справочниках [15]. В условиях выполненных опытов и при неподтопленном режиме сопряжения бьефов коэффициент  $m$  был постоянным: в случае водослива с тонкой стенкой  $m = 0,423$ , в случае водослива с широким порогом  $m = 0,314$ .

Измеренные значения коэффициента  $k$  при неподтопленном режиме также были постоянными: для водослива с тонкой стенкой  $k = 0,85$ , для водослива с широким порогом  $k = 0,67$ . С увеличением степени подтопления  $k \rightarrow 1$ .

Коэффициент  $\zeta$  подбирался по экспериментальным данным о параметрах волн  $h_2^0$ ,  $U_2^0$  таким образом, чтобы имело место наилучшее согласие с рассматриваемой теорией. Такой часто используемый способ называется идентификацией параметров модели или калибровкой модели. В частности, именно таким способом по натурным данным для конкретного русла подбирается эмпирический коэффициент Шези, содержащийся в уравнениях Сен-Венана.

**4. Сравнение результатов расчета и эксперимента.** Для сравнения используются расчетные и экспериментальные зависимости глубины  $h_2^0 = h_2/H$  и скорости распространения  $D_2^0 = D_2/(gH)^{1/2}$  от начальной глубины нижнего бьефа  $h_+^0 = h_+/H$ . Как сказано выше, в случае волн типа А результаты, полученные по методу расчета 1, совпадают с результатами, полученными по методу 2, а для волн типа Б и В метод 1, строго говоря, неприменим. В свою очередь, если в методе 3 положить  $\zeta = 0$ , то результаты, полученные по методу 2, будут совпадать с результатами, полученными по методу 3. Поэтому с экспериментальными данными достаточно сравнить только результаты, полученные по методам 3 и 4. Результаты сравнения приведены на рис. 3 в случаях прорана в виде водослива с тонкой стенкой и прорана в виде водослива с широким порогом. Выше отмечено, что метод 3, как и метод 4, применим при подтопленном режиме, следовательно, сравнение в подтопленном режиме является корректным.

Различие результатов, полученных с помощью методов 3 и 4, может иметь место только в области существования волн типа А. Однако на рис. 3,а видно, что и в этой

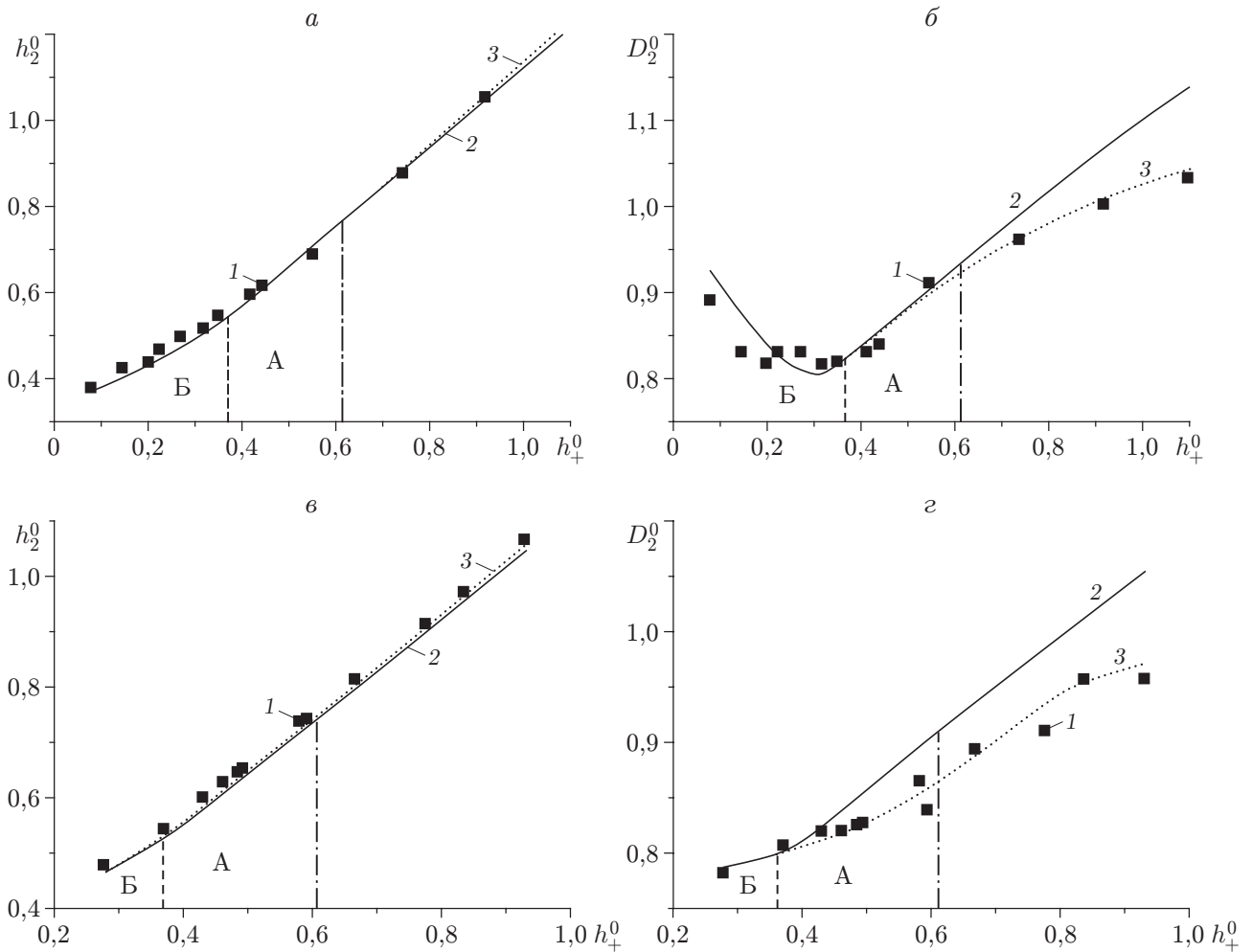


Рис. 3. Глубина за передним фронтом (а, в) и скорость распространения переднего фронта (б, г) волн в нижнем бьефе:

а, б — в случае прорана в виде водослива с тонкой стенкой; в, г — в случае прорана в виде водослива с широким порогом; 1 — эксперимент, 2, 3 — результаты расчетов по методам 3 и 4 соответственно; штриховая линия — граница областей существования волн типа Б и А; штрихпунктирная линия — экспериментальная верхняя граница неподтопленного режима

области методы 3 и 4 дают практически одинаковые значения параметра  $h_2^0$ , причем как в неподтопленном, так и в подтопленном режимах сопряжения бьефов. Различие значений параметра  $D_2^0$  более существенное (см. рис. 3,б). В расчетах с использованием метода 3, в котором потери энергии не учитываются, глубина за передним фронтом незначительно занижена, а скорость распространения волны типа А завышена. Аналогичные результаты имеют место и в случае прорана в форме водослива с широким порогом (см. рис. 3,в,г).

На рис. 4 приведена зависимость коэффициента потерь энергии  $\zeta$  от параметра  $h_+^0$ . Влияние формы водослива на эту зависимость несущественно. Максимальное значение  $\zeta$  достигается в окрестности границы между областями существования волн типа А и Б. Данные на рис. 3, 4 получены при  $\delta/h_- = 0,395$ , однако даже при таком относительно небольшом значении этого параметра потери энергии существенны. При  $h_+^0 = 0,37$  потери составляли 63 % величины энергии на входе в проран.

Данные, представленные на рис. 4, показывают, что в опытах с проранами различной формы значения  $\zeta$  различаются незначительно. Это справедливо также для парамет-

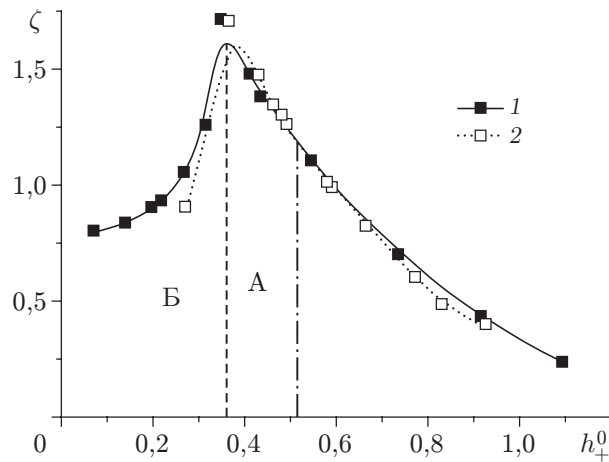


Рис. 4. Зависимость коэффициента потерь энергии  $\zeta$  от параметра  $h_+^0$ :  
 1 — водослив с тонкой стенкой; 2 — водослив с широким порогом; штриховая линия — граница областей существования волн типа Б и А; штрихпунктирная линия — теоретическая верхняя граница неподтопленного режима; точки — эксперимент; линии — результаты аппроксимации  $B$ -сплайнами

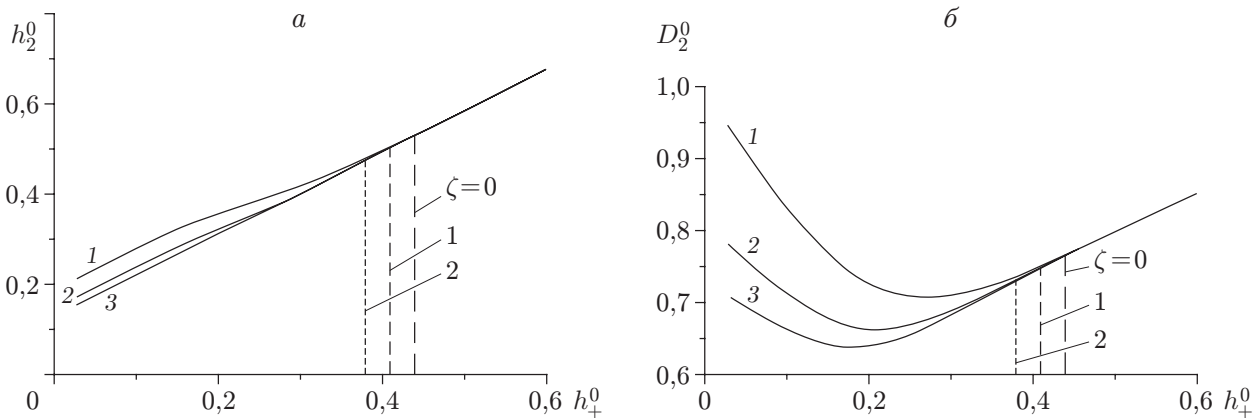


Рис. 5. Расчет параметров  $h_2^0$ ,  $D_2^0$  по методу 3 при различных значениях  $\zeta$ :  
 1 —  $\zeta = 0$ , 2 —  $\zeta = 1$ , 3 —  $\zeta = 2$ ; штриховые линии — верхние границы областей существования волн типа Б

ров  $h_2^0$ ,  $D_2^0$ . В частности, в двух сериях опытов при одинаковых начальных глубинах  $h_+^0$  различие значений  $\zeta$  не превышает 10 %.

При расчетах по методам 3 и 4 коэффициент  $\zeta$  для каждого значения  $h_+^0$  определялся отдельно. На рис. 5 приведены результаты расчетов по методу 3 при различных значениях  $\zeta$  в случае прорана в виде водослива с тонкой стенкой. Случай  $\zeta = 0$  соответствует методу 2. Штриховыми линиями показаны границы областей существования волн типа А и Б. Положение границы зависит от коэффициента потерь энергии  $\zeta$ . С увеличением  $\zeta$  граница смещается к началу координат.

**Заключение.** Результаты экспериментальной проверки четырех методов расчета показали, что наиболее точные значения параметров волн в нижнем бьефе можно получить, используя метод 4, в котором потери энергии учитываются наиболее полно. В методе 3 потери энергии учитываются только в области существования волн типа Б, а в методах 1 и 2 не учитываются вообще. Методы 3 и 4 дают одинаковые результаты в области существования волн типа Б. В области существования волн типа А результаты, полученные



по методам 1–3, совпадают и различаются с экспериментальными данными не более чем на 5 %. Результаты опытов и расчетов по методам 3 и 4 показывают, что чем больше потери энергии, тем шире область существования волн типа А. Соответственно расширяется и область практической применимости наиболее простого метода 1. Методы 1–3 дают завышенную скорость распространения волн. В условиях выполненных опытов скорость распространения переднего фронта волны прорыва, вычисленная по наиболее простому методу 1, превышает ее экспериментальное значение не более чем на 10 %.

#### ЛИТЕРАТУРА

1. **Chow Ven Te.** Open-channel hydraulics. N. Y. etc.: McGraw Hill, 1959.
2. **Васильев О. Ф., Лятхер В. М.** Гидравлика // Механика в СССР за 50 лет. М.: Наука, 1970. С. 709–790.
3. **Васильев О. Ф.** Математическое моделирование гидравлических и гидрологических процессов в водоемах и водотоках (обзор работ, выполненных в Сибирском отделении Российской академии наук) // Вод. ресурсы. 1999. Т. 26, № 5. С. 600–611.
4. **Христианович С. А.** Неустановившееся движение в каналах и реках // С. А. Христианович, Б. Б. Девисон, С. Г. Михлин. Некоторые новые вопросы механики сплошной среды. М.; Л.: Изд-во АН СССР, 1938. С. 15–154.
5. **Стокер Дж. Дж.** Волны на воде. М.: Изд-во иностр. лит., 1959.
6. **Dressler R. F.** Comparison of theories and experiments for the hydraulic dam-break wave // Intern. Assoc. Sci. Hydrology. 1954. V. 3, N 38. P. 319–328.
7. **Букреев В. И., Гусев А. В., Малышева А. А., Малышева И. А.** Экспериментальная проверка газогидравлической аналогии на примере задачи о разрушении плотины // Изв. РАН. Механика жидкости и газа. 2004. № 5. С. 143–152.
8. **Букреев В. И.** О глубине воды в проране при частичном разрушении плотины // Изв. РАН. Механика жидкости и газа. 2005. № 5. С. 115–123.
9. **Букреев В. И.** О расходной характеристике в створе плотины после ее разрушения // ПМТФ. 2006. Т. 47, № 5. С. 77–87.
10. **Alcrudo F., Benkhaldon F.** Exact solutions to the Riemann problem of shallow water equations with bottom step // Comput. Fluids. 2001. V. 30. P. 643–671.
11. **Атавин А. А., Васильев О. Ф.** Оценка возможных последствий аварий на судоходном шлюзе, связанных с разрушением затворов его камер // Тез. докл. междунар. симп. “Гидравлические и гидрологические аспекты надежности и безопасности гидротехнических сооружений”, Санкт-Петербург, 28 мая — 1 июня 2002 г. СПб.: Всерос. науч.-исслед. ин-т гидротехники, 2002. С. 121.
12. **Остапенко В. В.** О разрывных решениях уравнений “мелкой воды” над уступом дна // ПМТФ. 2002. Т. 43, № 6. С. 62–74.
13. **Букреев В. И., Гусев А. В.** Гравитационные волны при распаде разрыва над уступом дна открытого канала // ПМТФ. 2003. Т. 44, № 4. С. 64–75.
14. **Букреев В. И., Гусев А. В., Остапенко В. В.** Распад разрыва свободной поверхности жидкости над уступом дна канала // Изв. РАН. Механика жидкости и газа. 2003. № 6. С. 72–83.
15. **Киселев П. Г.** Справочник по гидравлическим расчетам. М.: Энергия, 1972.